

Applying Suction and Blowing Flow Control Approaches for Reducing the Flow-Induced Instabilities of Elastically-Mounted Square Cylinder*

Research Article

Amir Hossein Rabiee¹ Mohammad Reza Barzan²
Abolfazl Mohammadebrahim³

1. Introduction

Structural vibrations are always of the most important challenges in the design and proper operation of all types of ground structures exposed to flow, such as buildings and stairs, marine structures like marine risers, and even aerial structures. Now, if the source of these vibrations is aerodynamic forces, the problem analysis of flow-structure interaction is very difficult. The instabilities caused by the flow can cause irreparable damages to the structures exposed to the flow. Usually, the fluctuations caused by aerodynamic forces are divided into flutter, vibrations caused by vortex separation, and galloping. Vibrations caused by vortex shedding are seen when the frequency of vortex shedding approaches the natural frequency of the oscillator system. Galloping is specific to structures with a non-circular and pointed cross-section, where the movement of the structure increases the range of aerodynamic forces and further increases the range of vibrations. Usually, the range of galloping fluctuations is greater than the range of vibrations caused by vortex separation, while it occurs at higher flow speeds. To model and analyze the instabilities caused by the flow, a cylinder with a circular cross-section is mainly used. Although the circular cylinder provides a basic and simple geometry for researchers, it cannot be used to observe other phenomena. A cylinder with a square cross-section as a non-circular geometry with sharp corners has recently received much attention from researchers.

Significant progress in material engineering has reduced the weight and flexibility of structures, which shows the need for flow control methods in order to reduce the vibrations caused by the flow. Suppression of these fluctuations is done by correcting the flow forces that cause vibrations by passive and active flow control methods. In the flow suction or blowing method, a groove or grooves are installed on the front or rear the surfaces of the cylinder, which can change the behavior of the flow-structure around the cylinder by suction or blowing the flow and consequently change the process of vortex shedding. This method has recently been used for controlling the flow around cylinders with a fixed square section (without vibration). But until now, the method of suction or blow flow control has not been used for reducing the fluctuations caused by the flow of a cylinder with a square section. Therefore, the main goal of the this

study is to use this method in order to change the flow behavior and consequently reduce the vibrations caused by the cylindrical flow with a square section that freely oscillates in the transverse direction in both the frequency locking and galloping regions. For this purpose, the effectiveness of flow suction method and flow blowing method were evaluated separately.

2. Numerical solution method

In this study, the external flow is considered on a square cylinder that vibrates freely in the direction perpendicular to the flow (Figure 1). Due to the application of oscillating forces that are applied to the square cylinder placed on the elastic bed by means of the current, the cylinder can freely oscillate in the transverse direction. Therefore, for the present fluid interaction problem, the cylinder can be modeled as a mass-spring-damper system.

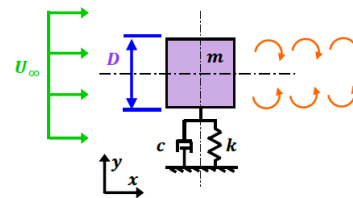
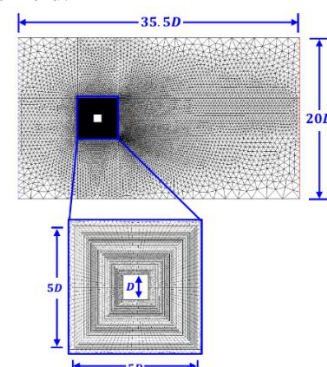


Figure 1. Square cylinder exposed to flow on an elastic bed

In each time step, the repetition process of equations is solved using Fluent commercial software. For this purpose, a user defined function is used. As can be seen in Figure 2, the mesh network includes unorganized triangular meshes and organized quadrilateral meshes (inside the square central part). In each repetition of the numerical solution process, the function of changing the shape of the displacement of the grid under the name of moving mesh changes the shape of the cells of the grid along with the movement of the cylinder, while the square central part that includes quadrilateral cells is moved along with the movement of the cylinder in the computing field and causes the mentioned tetrahedral cells to remain rigidly in the field.



* Manuscript received: 05 April 2021; Revised, 25 March 2022, Accepted, 25 June 2022.

¹. Corresponding author. Assistant Professor, Mechanical Engineering Department, Arak University of Technology, Arak, Iran.

Email: rabiee@arakut.ac.ir

². MSc Student, Mechanical Engineering Department, Arak University of Technology, Arak, Iran.

³ Assistant Professor, Mechanical Engineering Department, Arak University of Technology, Arak, Iran.

Figure 2. The dimensions of the computing field, the way of meshing and placement of the cylinder in the computing field

As can be seen in Figure 3, the obtained results are in very good agreement with those reported some others researches.

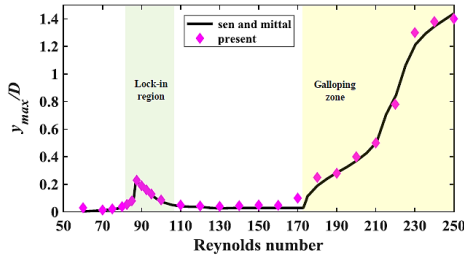


Figure 3. Maximum displacement changes of the square cylinder in terms of Reynolds number

3. Results and discussion

In this section, the numerical results related to the application of the flow surface suction and blowing method are presented in order to reduce the instabilities caused by the flow (vibrations caused by the separation of vortices and galloping) of a square cylinder placed on an elastic bed. As mentioned earlier, once the suction method and the blowing method were used to reduce the vibrations caused by the flow. For the suction method, a groove is used on the front surface of the cylinder, and a groove on its back surface is used for the tail. Moreover, the effectiveness of the mentioned methods was investigated in both frequency locking and galloping areas. Figure 4 shows the maximum changes of the transverse displacement range of the square cylinder according to the surface suction and blowing speed of the flow and the length of the groove. As can be seen in this figure, in the flow suction method, with the increase of the suction speed, the maximum displacement range of the square cylinder decreases. Here, the rate of displacement amplitude decreases with increasing suction speed. For the flow blowing method, increasing the power of the flow blowing leads to a significant decrease in the displacement range of the square cylinder. In the flow blowing method, it is possible to see a sharp reduction in the displacement range of the square cylinder between the dimensionless blowing speeds, after which the fluctuations caused by the square cylinder flow have been completely suppressed.

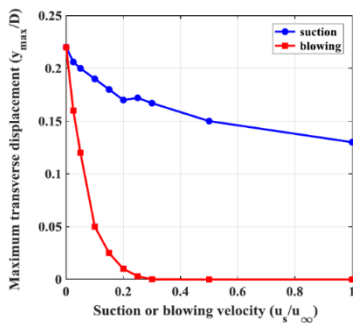


Figure 4. The maximum variation of the displacement range of the square cylinder according to the speed of suction and blowing for $Re = 87.5$

Moreover, by comparing the suction and blowing diagrams in Figure 4, it can clearly be seen that the

blowing method is much more effective than the current suction method for the frequency locking region. Figure 5 shows the maximum changes of the transverse displacement of the square cylinder in terms of the suction speed and the surface blowing of the flow as a representative of the Reynolds number located in the galloping region per groove length.

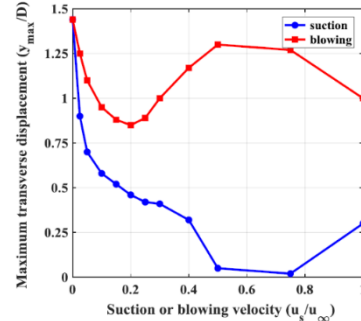


Figure 5. The maximum displacement range changes of the square cylinder according to the speed of suction and blowing for $Re = 250$

Table 1 summarizes different modes of control parameters.

Table 1. The percentage of vibration reduction in each of the investigated modes

blowing/suction	Reynolds Number	d/D	$u_{s,b}/u_{\infty}$	Percentage reduction (%)
suction	87.5	0.5	0.2	30
blowing			1	70
suction			0.05	45
blowing			0.2	95
suction	250	0.5	0.25	71
blowing			0.5	97
suction	87.5	0.2	0.2	41
blowing			1	31
suction			0.4	18
blowing			1	28
suction	250	0.2	0.7	65
blowing			0.7	98
suction			0.1	49
blowing			0.6	87
suction	250	1	0.2	44
blowing			1	17

4. Conclusion

In this study, the flow suction and blowing method was used to reduce the fluctuations caused by the flow of a cylinder with a square section that freely oscillates in the transverse direction for both frequency locking and galloping regions. According to the flow-structure interaction simulations, the mentioned method has succeeded in reducing the amplitude of vibrations caused by the separation of vortices and galloping. For the Reynolds number located in the frequency locking region, it can be seen that the suction of the flow at the suction speed $u_b/u_{\infty} \geq 0.2$ and groove length $d/D \geq 0.5$, it can significantly reduce the range of cylinder vibrations. It can also be seen that under the mentioned conditions, the vortex shedding formed behind the cylinder, are completely stopped in the uncontrolled state in the frequency locking region. Moreover, for the Reynolds number located in the galloping region, it can be seen that the flow suction can significantly reduce the galloping range.

اعمال روش کنترل جریان دمش و مکش به منظور کاهش ناپایداری‌های ناشی از جریان سیلندر مربعی قرار گرفته بر روی بستر الاستیک*

مقاله پژوهشی

امیرحسین ربیعی^(۱) محمدرضا برزن^(۲) ابوالفضل محمدابراهیم^(۳)

چکیده ناپایداری‌های ناشی از جریان یکی از چالش‌های اساسی در زمینه طراحی سازه‌های دریایی در زمینی در معرض جریان سیال به شمار می‌رود. روش‌های کنترلی غیرفعال و فعال بسیار متعددی برای کاهش نوسانات ناشی از جریان استوانه با مقطع مربعی به‌عنوان هندسه پایه‌ای برای سازه‌های دارای گوشه‌های تیز استفاده شده‌است. روش مکش و دمش جریان یکی از روش‌های اثربخش برای کنترل جریان و به تبع آن کاهش ارتعاشات حاصل از نیروهای آیرودینامیکی به حساب می‌آید که تا به حال برای استوانه مربعی قرار گرفته بر روی بستر الاستیک که آزادانه در جهت عرضی نوسان می‌کند، اعمال نشده‌است. بنابراین در مقاله حاضر جداگانه از روش‌های مکش و دمش برای سرکوب نوسانات ناشی از جریان بهره گرفته شده‌است. در روش مکش یک شیار در سطح جلویی استوانه و در روش دمش یک شیار در سطح پشتی استوانه جای‌گذاری شده‌است. در مطالعه حاضر اثر سرعت‌های مکش و دمش و همچنین اثر طول شیارهای مکش و دمش بر کارآمدی روش به‌کار گرفته شده، مورد ارزیابی قرار گرفته‌است. با توجه به شبیه‌سازی‌های تعامل جریان-سازه‌ای مشاهده می‌شود که روش کنترل جریانی اعمال شده به‌خوبی توانسته‌است نوسانات ناشی از جریان را کاهش دهد.

واژه‌های کلیدی ارتعاشات ناشی از جریان، ریزش گردابه، کنترل جریان، گالوپینگ، هندسه مربعی.

مقدمه

می‌باشد که در آن حرکت سازه موجب افزایش دامنه نیروهای آیرودینامیکی و در ادامه افزایش دامنه ارتعاشات می‌شود. به‌طور معمول دامنه نوسانات گالوپینگ از دامنه ارتعاشات ناشی از جدایش گردابه بیشتر است درحالی‌که در سرعت‌های جریان بالاتر اتفاق می‌افتد. برای مدل‌سازی و تحلیل ناپایداری‌های ناشی از جریان عمدتاً از استوانه با مقطع دایروی استفاده می‌شود [6]. استوانه دایروی اگر چه یک هندسه پایه‌ای و ساده برای محققان فراهم می‌کند ولی برای مشاهده پدیده‌های دیگر نمی‌توان از آن استفاده نمود. استوانه با مقطع مربعی به‌عنوان یک هندسه غیردایروی که دارای گوشه‌های تیز می‌باشد به تازگی بسیار مورد توجه محققان قرار گرفته‌است [4,7].

پیشرفت چشم‌گیر در مهندسی مواد، موجب کاهش وزن و انعطاف بیشتر سازه‌ها شده‌است که این موضوع نیاز به روش‌های کنترل جریان به‌منظور کاهش ارتعاشات ناشی از جریان را بیشتر نشان می‌دهد. سرکوب این نوسانات توسط اصلاح نیروهای جریان که عامل ارتعاشات هستند توسط روش‌های کنترل جریان

ارتعاشات سازه‌ای همواره یکی از چالش‌های بسیار مهم در طراحی و کارکرد صحیح انواع سازه‌های زمینی در معرض جریان مانند ساختمان‌ها و پل‌ها، سازه‌های دریایی مانند رایزرهای دریایی و حتی سازه‌های هوایی به شمار می‌آید. حال اگر منبع این ارتعاشات نیروهای آیرودینامیکی باشد، تحلیل مسئله تعامل جریان-سازه‌ای بسیار مشکل می‌باشد [1,2]. ناپایداری‌های ناشی از جریان می‌تواند خسارت‌های جبران‌ناپذیری را به سازه‌های در معرض جریان وارد نماید. به‌طور معمول نوسانات ناشی از نیروهای آیرودینامیکی به فلاتر (Flutter)، ارتعاشات ناشی از جدایش گردابه ((Vortex-induced vibration (VIV))، و گالوپینگ (Gallopings) تقسیم‌بندی می‌شود [3-5]. فلاتر مرتبط با ترکیب ارتعاشات خطی و پیچشی می‌باشد. ارتعاشات ناشی از جدایش گردابه هنگامی دیده می‌شود که فرکانس ریزش گردابه‌ها (Vortex shedding) به فرکانس طبیعی سیستم نوسانگر نزدیک شود. گالوپینگ تنها مختص به سازه‌های با مقطع غیر دایروی و نوک‌تیز

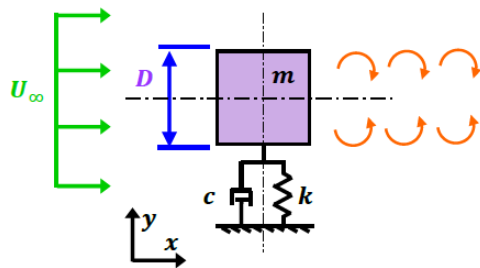
* تاریخ دریافت مقاله ۱۴۰۰/۱/۱۶ و تاریخ پذیرش آن ۱۴۰۱/۴/۴ می‌باشد.

روش حل عددی

در این مطالعه، جریان خارجی بر روی یک استوانه مربعی که آزادانه در جهت عمود بر جریان ارتعاش می کند، در نظر گرفته شده است. شماتیکی از استوانه مربعی که بر روی یک بستر الاستیک قرار گرفته است در شکل (۱) مشاهده می شود. دامنه حل به شکل مستطیل با طول $35.5D$ و عرض $20D$ در نظر گرفته شده است و استوانه مربعی با ابعاد $D \times D$ به فاصله $10D$ از مرزهای بالایی و پایینی قرار گرفته است. شکل (۴) ابعاد فضای محاسباتی به شبکه مش بندی شده را نشان می دهد. با در نظر گرفتن جریان پایا، دوبعدی، تراکم ناپذیر و آرام و فرض نیوتنی بودن سیال، معادله بقای جرم (پیوستگی) به صورت معادله (۱) خواهد بود:

$$\frac{\partial u}{\partial x} + \frac{\partial v}{\partial y} = 0 \quad (1)$$

که در آن u سرعت در جهت x ، v سرعت در جهت y هستند. شرایط مرزی نیز برای مرز بالادست $u = U_{\infty}, v = 0$ ، مرز پایین دست $\frac{\partial v}{\partial x} = 0, \frac{\partial u}{\partial x} = 0$ ، روی استوانه مربعی شرط مرزی عدم لغزش $u = 0, v = 0$ ، و مرزهای بالایی و پایینی $\frac{\partial u}{\partial y} = 0, v = 0$ در نظر گرفته شده است. هم چنین جریان در شیارهای مکش و دمش سرعت نرمال $u = u_s/b$ مشخص می شود.

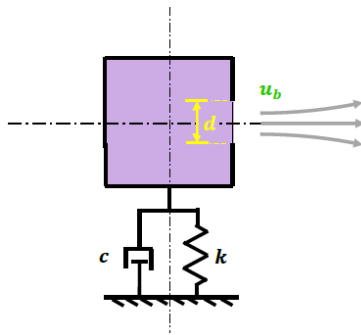


شکل ۱ استوانه مربعی در معرض جریان قرار گرفته بر روی بستر الاستیک

به دلیل اعمال نیروهای نوسانی که به واسطه جریان به استوانه مربعی قرار گرفته بر روی بستر الاستیک وارد می شود، استوانه می تواند آزادانه در جهت عرضی نوسان کند. بنابراین برای مسئله تعامل جریان سازه ای حاضر، می توان استوانه را به صورت یک سیستم جرم-فنر-دمپر با جرم m سفتی k ، و ضریب میرایی c مدل کرد. طبق قانون دوم نیوتن معادله حرکت استوانه بدین شکل نوشته می شود:

غیرفعال و فعال صورت می گیرد. روش های کنترل جریان غیرفعال مانند نوارهای مارپیچ (Helical strakes)، صفحه های جداساز (Splitter plate)، فیرینگ (Fairing)، پوشش های زیر و... به منبع انرژی خارجی نیاز ندارند و در عمل، پیاده سازی نسبتاً ساده تری دارند [8]. به هر حال، روش های غیرفعال، غیر تطبیقی هستند و می بایست پارامترهای هندسی روش های مذکور با توجه به ویژگی های سازه ای و محیطی از قبل تعیین شوند که پس از ساخت امکان تغییر آن ها وجود ندارد. از طرف دیگر روش های کنترل فعال با اعمال انرژی خارجی می توانند اثربخشی بیشتری نسبت به روش های کنترل غیرفعال از خود به نمایش بگذارند. روش های کنترل فعال متعددی از جمله روش پلاسما، کنترل لایه مرزی، اعمال مستقیم نیروی کنترلی، استوانه های چرخشی و روش مکش یا دمش سطحی جریان، وجود دارند که از طریق اصلاح دنباله گردابه پشت سازه می توانند ناپایداری های ناشی از جریان را کاهش دهند [9,10]. روش آخر، یکی از اثربخش ترین روش های کنترل جریان و به تبع آن کاهش نوسانات ناشی از جریان به حساب می آید که توسط محققان متعددی برای استوانه دایروی قرار گرفته بر روی بستر الاستیک قرار گرفته است [11]. در روش مکش یا دمش جریان شیار یا شیارهایی در سطوح جلویی یا عقبی استوانه تعبیه شده که با مکش یا دمش جریان می توانند رفتار جریان-سازه ای حول استوانه و به تبع آن روند ریزش گردابه ها را تغییر دهند. هم چنین این روش به تازگی برای کنترل جریان حول استوانه های با مقطع مربعی ثابت (بدون ارتعاش) نیز استفاده شده است؛ ولی تا به حال از روش کنترل جریانی مکش یا دمش (Suction or blowing flow control methods) برای کاهش نوسانات ناشی از جریان استوانه با مقطع مربعی بهره گرفته نشده است. بنابراین هدف اصلی مطالعه حاضر، به کارگیری از این روش به منظور تغییر رفتار جریان و به تبع آن کاهش ارتعاشات ناشی از جریان استوانه با مقطع مربعی که آزادانه در جهت عرضی نوسان کرده در هر دو منطقه قفل شدگی فرکانسی و گالوپینگ می باشد. برای این منظور به صورت جداگانه اثربخشی روش مکش جریان شکل (۲) و روش دمش جریان شکل (۳) مورد ارزیابی قرار گرفته است.

Blowing flow control method



شکل ۳ روش کنترلی دمش جریان

در نرم افزار فلوئنت از فرمولاسیون مرتبه اول حل کننده ضمنی بر پایه فشار برای حل معادلات بقا و مومنتوم جریان به کار گرفته شده است. جریان اطراف استوانه آرام و گذرا است و خواص فیزیکی سیال به گونه ای ثابت فرض شده اند که شرایط عدد رینولدز مورد نظر را فراهم کند. برای گسسته سازی ترم های فشار و مومنتوم به ترتیب از روش های استاندارد و بالادست مرتبه دوم استفاده شده است. در این شبیه سازی عددی به منظور کاهش زمان محاسبات و همچنین افزایش دقت پیش روی در زمان به خصوص در شرایطی که مش های شبکه دینامیکی تعریف شده اند از روش گام جزئی بهره گرفته شده است. این روش با فعال کردن گذشت زمان غیر تکراری (Non-iterative time advancement) میسر می شود که سبب افزایش بازده محاسبات عددی در گذر زمان می گردد.

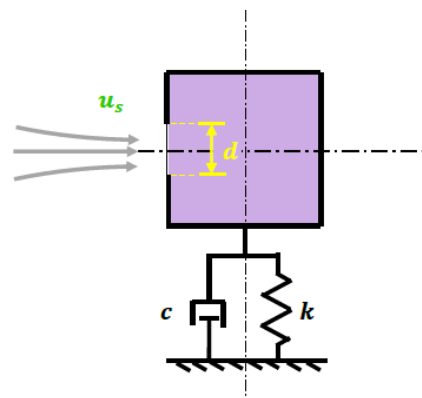
با توجه به معادله (۲) مشخص می باشد که ضریب برآ نقش مهمی در کوپل کردن معادله حرکت استوانه با میدان جریان اطراف آن ایفا می کنند. این ضریب توسط کد تابع کاربر در هر گام زمانی از حل کننده فلوئنت فراخوانی شده تا توسط تابع حرکت مرکز گرائش جسم صلب (CG Motion) تعریف شوند. سپس در کد تابع کاربر مقادیر شتاب و به تبع آن سرعت استوانه به دست آورده می شوند. به طور خلاصه روند حل عددی از این قرار می باشد: ابتدا معادله جریان در نرم افزار فلوئنت حل شده و نیروی برآی وارد بر استوانه محاسبه می شود. سپس کد تابع کاربر که در داخل خود نرم افزار بارگذاری شده است، نیروی برآی وارد بر استوانه را خوانده و بر اساس آن معادله حرکت استوانه را حل می کند. با حل معادله حرکت، شتاب، سرعت و جابه جایی استوانه

$$m\ddot{y} + c\dot{y} + ky = F_L \quad (2)$$

که در y ، \dot{y} و \ddot{y} آن به ترتیب مشخص کننده جابه جایی، سرعت و شتاب عرضی استوانه و F_L نیروی برآی وارد بر استوانه می باشد.

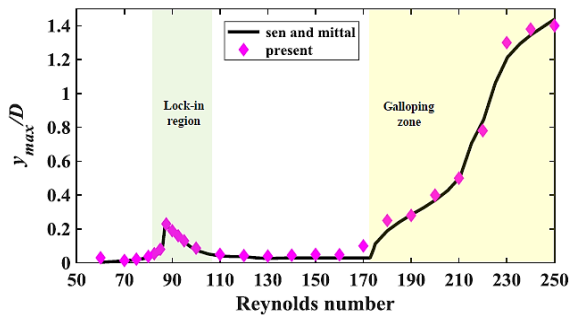
در هر گام زمانی فرایند تکرار معادله (۱) با استفاده از نرم افزار تجاری فلوئنت حل می شود. بدین منظور از یک کد تابع کاربر (User defined function (UDF)) استفاده شده است. همان طور که در شکل (۴) مشاهده می شود، شبکه مش بندی شامل مش های مثلثی بی سازمان و مش های چهارضلعی سازمان یافته (داخل بخش مرکزی مربعی شکل) می باشند. در هر تکرار از فرایند حل عددی تابع تغییر فرم جابه جایی شبکه تحت عنوان مش متحرک (Moving/deforming mesh (MDM)) فرم سلول های شبکه را همراه با حرکت استوانه تغییر می کند. درحالی که بخش مرکزی مربعی شکلی که شامل سلول های چهار ضلعی می باشد همراه با حرکت استوانه در میدان محاسباتی جابه جا شده و سبب می شود که سلول های چهاروجهی مذکور به صورت صلب در میدان باقی بمانند. این تکنیک روش جابه جایی مش نامیده می شود، که سبب افزایش دقت در محاسبات عددی به خصوص در مرزهای مجاور جسم صلب متحرک در میدان محاسباتی گشته و خطای تصویر (projection error) را تا حد مینیمم کاهش می دهد. این در حالی است که سلول های مثلثی شکل خارج بخش مرکزی، دچار تغییر شکل نیز می شوند.

Suction flow control method



شکل ۲ روش کنترلی مکش جریان

استوانه می رسد، قفل شدگی فرکانسی اتفاق می افتد که منجر به افزایش دامنه ارتعاشات می شود. پدیده گالوپینگ تنها مختص به سازه های با مقطع غیر دایروی و نوک تیز می باشد که در آن حرکت سازه موجب افزایش دامنه نیروهای آیرودینامیکی و در ادامه افزایش دامنه ارتعاشات می شود و در محدوده اعداد رینولدز بالاتر ($Re \geq 170$) دیده می شود.

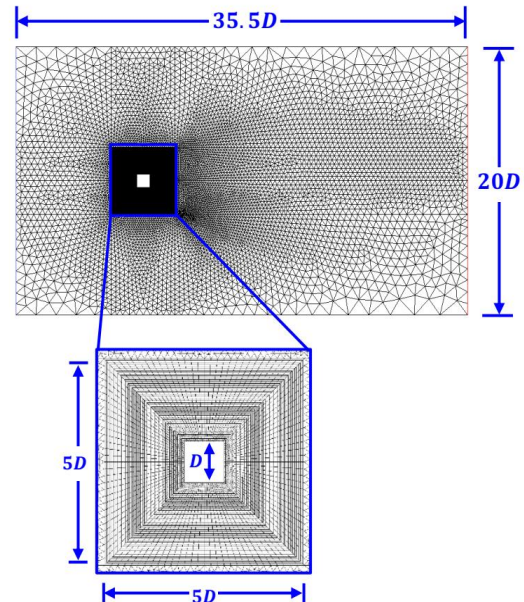


شکل ۵ تغییرات بیشینه جابه جایی استوانه مربعی بر حسب عدد رینولدز

دلیل استفاده از محدوده اعداد رینولدز در این مطالعه و پژوهش های مشابه، محدودیت های مربوط به توان محاسباتی می باشد. در محدوده اعداد رینولدز کمی بالاتر، هسته گردابه ها توربولانت و دارای ماهیت سه بعدی خواهد شد که برای حل میدان جریان می بایست از مدل های توربولانت بهره گرفت. در صورت استفاده از فضای سه بعدی، تعداد مش ها بسیار بالا خواهد شد که در نتیجه آن زمان محاسبات بسیار افزایش می یابد. این مسئله به خصوص در مدل سازی ارتعاشات ناشی از جریان که از روش حل جابه جایی مش نیز استفاده می شود، بسیار پیچیده می شود. در نتیجه، در صورت بهره گیری از مدل های توربولانت، به دلیل زمان محاسباتی بسیار بالا نمی توان اثر پدیده های مختلف بر رفتار جریان-سازه ای سیستم ارتعاشی مورد مطالعه را ارزیابی نمود (تعداد شبیه سازی ها غالباً در مطالعات مشابه بسیار بالا است). یکی از روش های به کار گرفته شده برای حل این مشکل، بهره گیری از مدل های حل جریان آرام و استفاده از مدل های دو بعدی است.

انتخاب اندازه مش مناسب، برای به دست آوردن نتایج دقیق بسیار مهم و ضروری می باشد. هر چه اندازه مش ها کوچک تر شود به تبع آن تعداد مش ها بیشتر می شود، که این باعث افزایش دقت به ازای افزایش زمان محاسباتی (هزینه محاسباتی) می باشد.

محاسبه می شود. سپس این مقادیر باعث تغییر موقعیت استوانه داخل میدان محاسباتی می شود. هم چنین، شرایط مرزی و شبکه مش بندی نیز به روزرسانی می شوند.



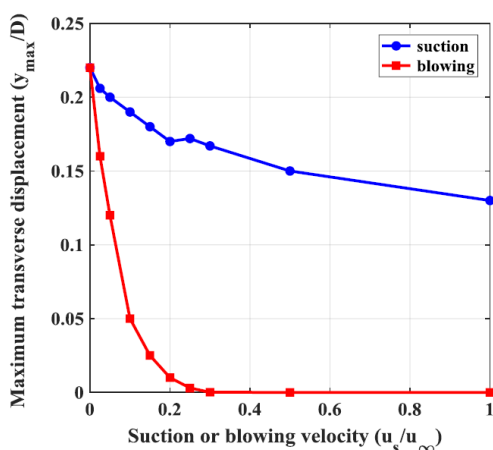
شکل ۴ ابعاد میدان محاسباتی، نحوه مش بندی و قرارگیری استوانه در میدان محاسباتی

قبل از ارائه نتایج، اعتبارسنجی شبیه سازی عددی مورد بررسی قرار می گیرد. به همین منظور مقدار پارامترهای ورودی از قرار $m^* = 10, \xi = 0, B = 0.05; f_n^* = f_n D / U_\infty = 14.39 / Re$ در نظر گرفته شده و سپس تغییرات بیشینه دامنه نوسانات عرضی استوانه بر حسب عدد رینولدز برای استوانه مربعی قرار گرفته بر روی بستر الاستیک، به دست آورده شده است. همان طور که در شکل (۵) مشاهده می شود، نتایج به دست آمده با آنچه در مرجع [12] گزارش شده است، تطابق بسیار خوبی دارد. لازم به ذکر است، دلیل رخداد پدیده قفل شدگی فرکانسی، نزدیک شدن فرکانس ریزش گردابه ها به فرکانس طبیعی استوانه در محدوده اعداد رینولدز $85 \leq Re \leq 105$ می باشد. در واقع، پارامترهای فیزیکی استوانه نظیر مقدار جرم و ثابت فنر، به گونه ای تنظیم شده اند که پدیده تشدید در محدوده اعداد رینولدز ذکر شده اتفاق بیفتد. به بیان دیگر، با افزایش عدد رینولدز، فرکانس ریزش گردابه ها افزایش می یابد. هنگامی که فرکانس ریزش گردابه به نزدیکی فرکانس طبیعی

شده‌است، به طوری که با کاهش مجدد گام زمانی، تغییرات زیادی در نتایج مشاهده نمی‌شود.

نتایج و بحث

در این بخش، نتایج عددی مرتبط با اعمال روش مکش و دمش سطحی جریان به منظور کاهش ناپایداری‌های ناشی از جریان (ارتعاشات ناشی از جدایش گردابه‌ها و گالوپینگ) یک استوانه مربعی که بر روی بستر الاستیک قرار گرفته‌است، ارائه شده‌است. همان‌طور که پیش‌تر ذکر شد، یک بار از روش مکش و بار دیگر از روش دمش برای کاهش ارتعاشات ناشی از جریان استفاده شده‌است. برای روش مکش یک شیار در سطح جلویی استوانه و برای دمش از یک شیار در سطح پشتی آن استفاده شده‌است. هم‌چنین اثربخشی روش‌های مذکور در هر دو ناحیه قفل‌شدگی فرکانسی و ناحیه گالوپینگ مورد بررسی قرار گرفته‌است. با توجه به شکل (۵) عدد رینولدز $Re = 87.5$ برای ناحیه قفل‌شدگی فرکانسی و عدد رینولدز $Re = 250$ برای ناحیه گالوپینگ انتخاب شده‌اند. جرم بی بعد شده استوانه مربعی برابر با $m^* = 10$ و فرکانس طبیعی کاهش برابر با $f_n^* = f_n D / U_\infty$ در این بخش ابتدا تغییرات سرعت جریان در شیارهای مکشی/دمشی مورد بررسی قرار گرفته و در ادامه با انتخاب سرعت بهینه، تغییرات طول شیارها مورد ارزیابی قرار گرفته‌است.



شکل ۶ تغییرات بیشینه دامنه جابه‌جایی استوانه مربعی بر حسب سرعت مکش و دمش برای $Re = 87.5$

در نتیجه می‌بایست تعادلی بین تعداد مش و دقت محاسباتی برقرار نمود. برای این منظور، شکل کلی مش‌ها ثابت نگاه داشته شده و اثر اندازه مش‌ها در سه حالت مختلف (از درشت به ریز) بررسی شده‌است. جدول (۱)، ضریب پسای متوسط و جذر میانگین مربعات (Root mean square (RMS)) ضریب برآ به ازای شبکه‌های مختلف را برای استوانه ثابت با سطح مقطع مربعی در $Re = 100$ نشان می‌دهد. با توجه به مقادیر نشان داده شده در جدول (۱)، استنباط می‌شود که حالت ۲ که دارای اندازه مش‌های 28000 (در بخش مرکزی) می‌باشد توانسته‌است مصالحه مناسبی بین دقت و هزینه محاسباتی برقرار کند.

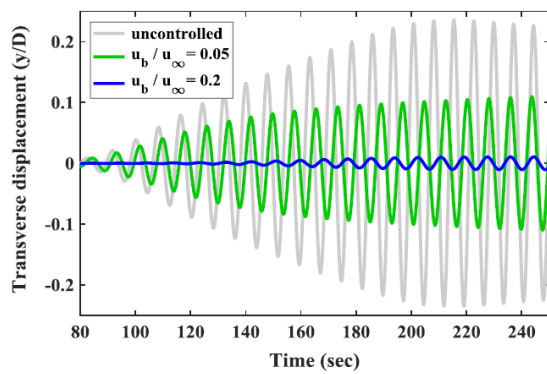
جدول ۱ اثر تعداد مش‌ها بر ضرایب آیرودینامیکی استوانه مربعی ثابت

حالت	تعداد کل مش‌ها	تعداد مش‌ها در ناحیه مرکزی	C_L^{RMS}	\bar{C}_D
حالت ۱	۱۰۰۰۰	۳۵۰۰	۰/۲۲۷	۱/۶۶۲
حالت ۲	۲۸۰۰۰	۸۰۰۰	۰/۱۹۸	۱/۵۲۴
حالت ۳	۸۰۰۰۰	۱۱۰۰۰	۰/۱۹۷	۱/۵۲۱

جدول ۲ اثر گام زمانی بر ضرایب آیرودینامیکی استوانه مربعی ثابت

Δt	C_L^{RMS}	\bar{C}_D
۰/۰۵	۰/۲۹۳	۲/۰۳۵
۰/۰۴	۰/۲۶۶	۱/۸۱۴
۰/۰۳	۰/۲۳۷	۱/۶۸۵
۰/۰۲	۰/۲۱۶	۱/۵۹۳
۰/۰۱	۰/۱۹۸	۱/۵۲۴
۰/۰۰۵	۰/۱۹۶	۱/۵۲۲

اندازه گام زمانی نیز پارامتر مهم دیگری می‌باشد که برای دستیابی به دقت حل مناسب می‌بایست مورد توجه قرار گیرد. در این‌جا نیز گام زمانی کوچک‌تر می‌تواند منجر به افزایش دقت محاسباتی به ازای افزایش زمان یا هزینه محاسباتی شود. در نتیجه، با در نظر گرفتن شبکه با تعداد مش مشخص شده در حالت ۲، مجدداً ضریب پسای متوسط و جذر میانگین مربعات ضریب برآ، این‌بار برای گام زمانی با مقادیر مختلف محاسبه و در جدول (۲) لیست شده‌اند. همان‌طور که در جدول (۲) مشاهده می‌شود، گام زمانی $\Delta t = 0.01$ منجر به نتایج با دقت قابل قبولی



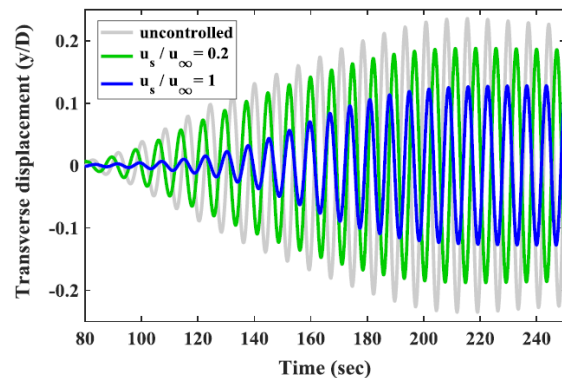
شکل ۸ پاسخ زمانی جابه‌جایی بی‌بعد شده‌ی استوانه مربعی برای سرعت‌های دمش $u_s/u_\infty = 0.05$ و $u_s/u_\infty = 0.2$ در $Re = 87.5$

همان‌طور که در شکل‌های (۷) و (۸) مشاهده می‌شود، پاسخ زمانی جابه‌جایی استوانه مربعی به‌صورت نوسانی است و برای عدد رینولدز $Re = 87.5$ واقع در ناحیه قفل‌شدگی فرکانسی، با فرکانسی نزدیک به فرکانس طبیعی سیستم نوسانگر، ارتعاش می‌کند. در این‌جا دیده می‌شود که روش مکش جریان برای سرعت‌های مکش منتخب $u_s/u_\infty = 0.2$ و $u_s/u_\infty = 1$ توانسته‌است، بیشینه دامنه جابه‌جایی استوانه مربعی را به‌ترتیب به میزان ۳۰ و ۷۰ درصد نسبت به حالت کنترل نشده کاهش دهد. هم‌چنین روش دمش جریان برای سرعت‌های دمش $u_b/u_\infty = 0.05$ و $u_b/u_\infty = 0.2$ موفق شده‌است، بیشینه دامنه جابه‌جایی استوانه را به‌ترتیب به مقدار ۴۵ و ۹۵ درصد کاهش دهد. لازم به ذکر است در روش دمش جریان برای سرعت‌های دمش بالاتر، درصد کاهش ارتعاشات استوانه نزدیک به ۱۰۰ درصد می‌شود که این نشان‌دهنده کاهش یا سرکوب کامل نوسانات ناشی از جریان استوانه مربعی می‌باشد.

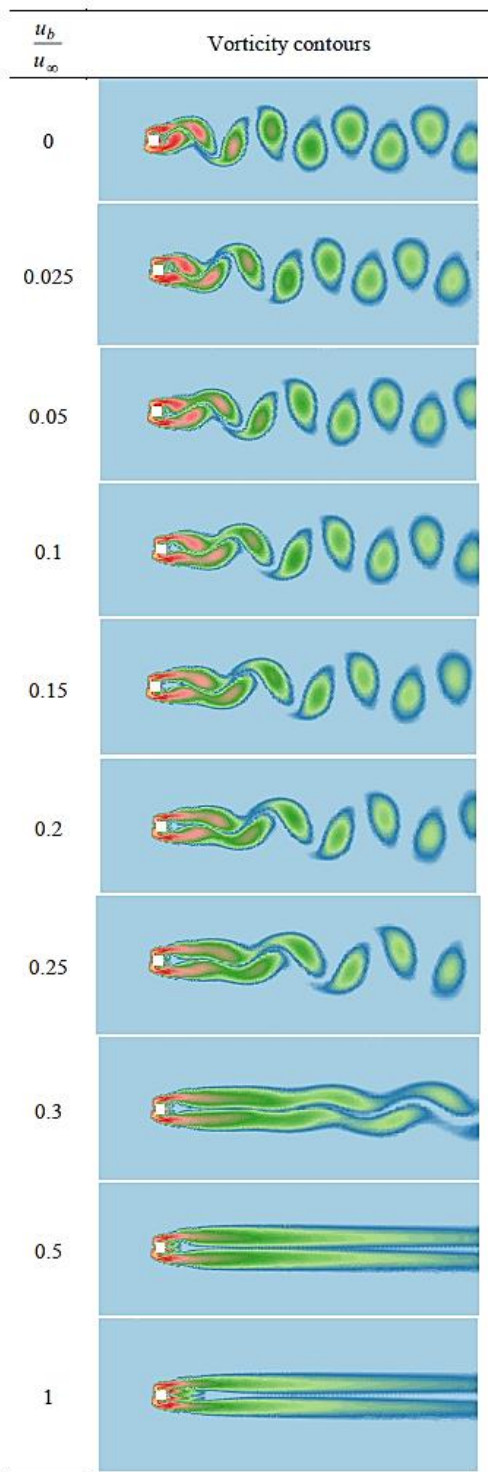
شکل‌های (۹ و ۱۰) تصاویر مربوط به ساختار گردابه‌ای تشکیل شده پشت استوانه مربعی برای $Re = 87.5$ و طول شیار $d/D = 0.5$ را به ازای تغییرات سرعت به‌ترتیب در روش‌های مکش و دمش جریان نشان می‌دهند. مشاهده می‌شود که برای استوانه کنترل نشده گردابه‌ها به‌صورت متناوب از گوشه‌های بالا و پایین استوانه مربعی ریخته شده که نشان‌دهنده حالت 2S دنباله گردابه‌ها می‌باشد. همان‌طور که در شکل (۹) مشاهده می‌شود، با افزایش سرعت مکش جریان، تغییر محسوسی در ساختار گردابه‌ای تشکیل شده پشت استوانه اتفاق نمی‌افتد. حالت گردابه‌ها، اندازه و فاصله آن‌ها تقریباً به‌ازای تمامی سرعت‌های

شکل (۶) تغییرات بیشینه دامنه جابه‌جایی عرضی استوانه مربعی بر حسب سرعت مکش و دمش سطحی جریان برای $Re = 87.5$ و طول شیار $d/D = 0.5$ را نشان می‌دهد. همان‌طور که در این شکل مشاهده می‌شود، در روش مکش جریان، با افزایش سرعت مکش، بیشینه دامنه جابه‌جایی استوانه مربعی کاهش می‌یابد. در این‌جا نرخ کاهش دامنه جابه‌جایی، با افزایش سرعت مکش، کاهش می‌یابد. برای روش دمش جریان نیز، افزایش قدرت دمش جریان، منجر به کاهش بیشینه دامنه جابه‌جایی استوانه مربعی می‌شود. در روش دمش جریان، می‌توان کاهش شدید دامنه جابه‌جایی استوانه مربعی بین سرعت‌های دمش بی‌بعد شده $0 < u_b/u_\infty < 0.2$ را مشاهده نمود که پس از آن، نوسانات ناشی از جریان استوانه مربعی به‌طور کامل سرکوب شده‌است. هم‌چنین با مقایسه نمودارهای مکش و دمش در شکل (۶) به‌خوبی می‌توان اثربخشی بسیار بیشتر روش دمش نسبت به روش مکش جریان را برای ناحیه قفل‌شدگی فرکانسی مشاهده نمود.

در ادامه، به‌منظور مشاهده بهتر، نمودارهای پاسخ زمانی جابه‌جایی بی‌بعد شده‌ی استوانه مربعی در سرعت‌های مکش و دمش منتخب، ارائه می‌شود. برای این منظور شکل (۷) تاریخچه زمانی جابه‌جایی بی‌بعد شده‌ی استوانه مربعی برای سرعت‌های مکش منتخب $u_s/u_\infty = 0.2$ و $u_s/u_\infty = 1$ در عدد رینولدز $Re = 87.5$ و طول شیار $d/D = 0.5$ را نشان می‌دهد. هم‌چنین شکل (۸) نمودار مشابه برای روش دمش جریان برای سرعت‌های دمش $u_b/u_\infty = 0.05$ و $u_b/u_\infty = 0.2$ را ارائه می‌دهد.



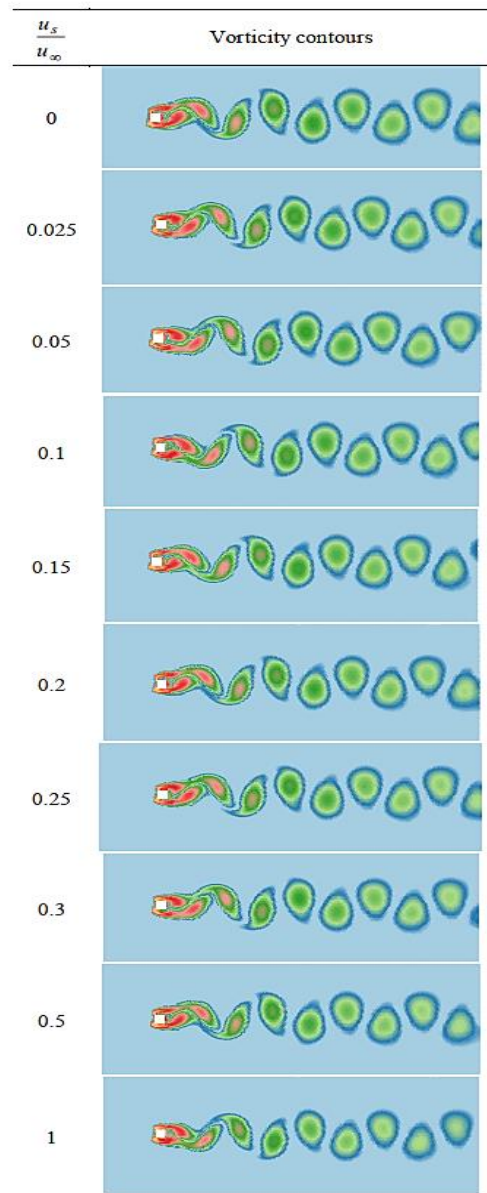
شکل ۷ پاسخ زمانی جابه‌جایی بی‌بعد شده‌ی استوانه مربعی برای سرعت‌های مکش $u_s/u_\infty = 0.2$ و $u_s/u_\infty = 1$ در $Re = 87.5$



شکل ۱۰ کانتورهای ورتیسیته برای تغییرات سرعت دمش در $Re = 87.5$

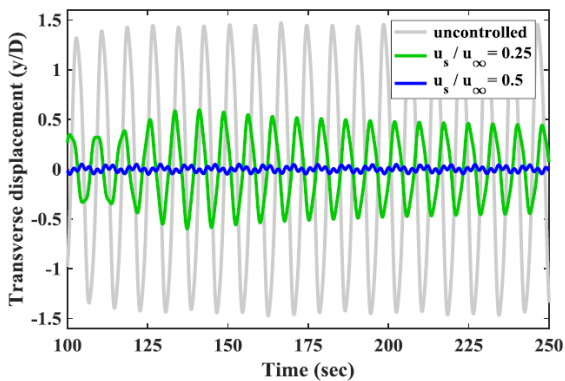
لازم به ذکر است برای عدد رینولدز $Re = 87.5$ واقع در ناحیه قفل‌شدگی فرکانسی، سرعت مکش و دمش بی بعدشده برابر با 0.2 به‌عنوان سرعت منتخب به‌دلیل برقراری مصالحه

مکش جریان، ثابت می‌باشد که این نشان‌دهنده عدم تأثیرگذاری روش مکش جریان در ساختار ریزش گردابه‌ها است. اما شرایط برای روش دمش جریان در $Re = 87.5$ متفاوت می‌باشد. در روش دمش جریان با افزایش سرعت دمش، به‌تدریج لایه برشی تشکیل شده در پشت استوانه کشیده شده، و فاصله گردابه‌ها از یکدیگر بیشتر می‌شود. این تغییرات ادامه پیدا کرده تا جایی که برای $u_b/u_\infty > 0.3$ به‌طور کامل ریزش گردابه‌ها متوقف شده و دیگر هیچ گردابه‌ای در پشت استوانه مشاهده نمی‌شود.

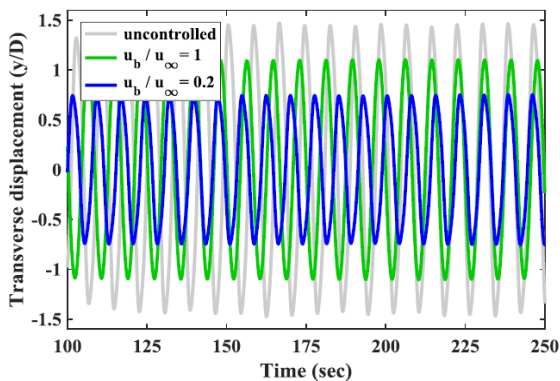


شکل ۹ کانتورهای ورتیسیته برای تغییرات سرعت مکش در $Re = 87.5$

دمش منتخب، ارائه می شود. برای این منظور شکل (۱۲) تاریخچه زمانی جابه جایی بی بعد شده استوانه مربعی برای سرعت های مکش منتخب $u_s/u_\infty = 0.25$ و $u_s/u_\infty = 0.5$ در عدد رینولدز $Re = 250$ و طول شیار $d/D = 0.5$ را نشان می دهد. همچنین شکل (۱۳) نمودار مشابه برای روش دمش جریان برای سرعت های دمش $u_b/u_\infty = 0.2$ و $u_b/u_\infty = 1$ ارائه می دهد.



شکل ۱۲ پاسخ زمانی جابه جایی بی بعد شده استوانه مربعی برای سرعت های مکش $u_s/u_\infty = 0.25$ و $u_s/u_\infty = 0.5$ در $Re = 250$

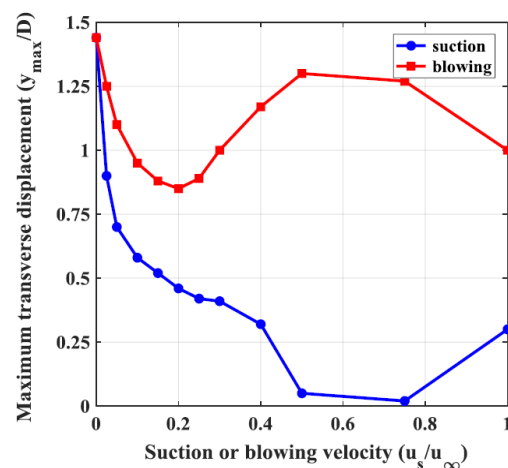


شکل ۱۳ پاسخ زمانی جابه جایی بی بعد شده استوانه مربعی برای سرعت های دمش $u_b/u_\infty = 0.2$ و $u_b/u_\infty = 1$ در $Re = 250$

همان طور که در شکل های (۱۲ و ۱۳) مشاهده می شود، بیشینه دامنه جابه جایی استوانه مربعی در ناحیه گالوپینگ نسبت به ناحیه قفل شدگی فرکانسی به مراتب بالاتر می باشد. در این جا دیده می شود که روش مکش جریان برای سرعت های مکش منتخب $u_s/u_\infty = 0.25$ و $u_s/u_\infty = 0.5$ توانسته است، بیشینه دامنه جابه جایی استوانه مربعی را به ترتیب به میزان ۷۱ و

مناسب بین درصد کاهش نوسانات ناشی از جریان استوانه و همچنین مصرف انرژی، برای بررسی طول شیارها، انتخاب شده است. شکل (۱۱) تغییرات بیشینه دامنه جابه جایی عرضی استوانه مربعی بر حسب سرعت مکش و دمش سطحی جریان برای $Re = 250$ به عنوان نماینده عدد رینولدز واقع در ناحیه گالوپینگ به ازای طول شیار $d/D = 0.5$ را نشان می دهد. همان طور که در بخش مقدمه گفته شد، از یک سرعت جریانی بحرانی به بعد، نوسانات استوانه مربعی موجب ایجاد نیروهای آیرودینامیکی بزرگتری به جسم می شود که این امر موجب افزایش هر چه بیشتر دامنه جابه جایی استوانه می گردد.

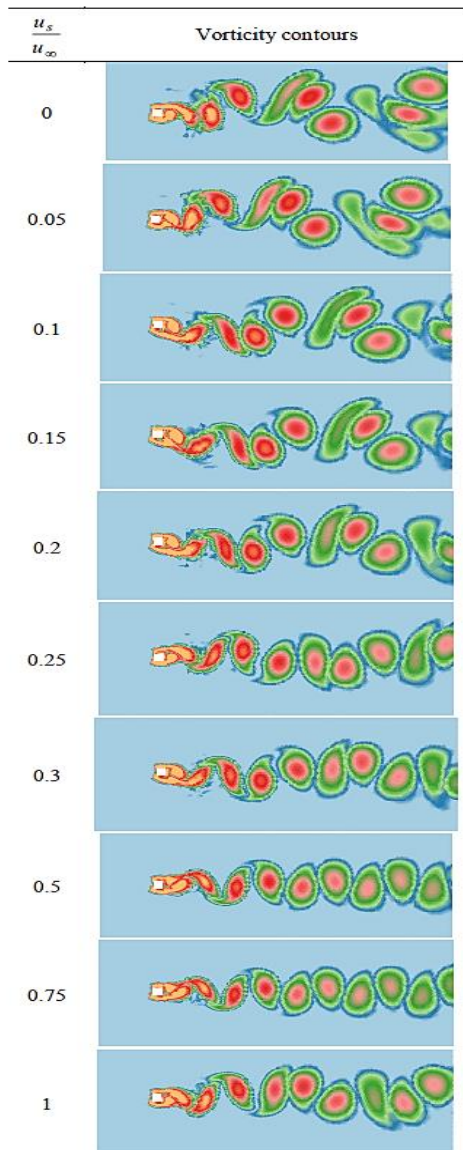
همان طور که در شکل (۱۱) مشاهده می شود، در روش مکش جریان، با افزایش سرعت مکش، بیشینه دامنه جابه جایی استوانه مربعی کاهش یافته و در محدوده $0.4 < u_s/u_\infty < 0.8$ به حداقل مقدار خود می رسد. برای روش دمش جریان نیز، با افزایش سرعت دمش، ابتدا بیشینه جابه جایی استوانه مربعی در محدوده $0 < u_b/u_\infty < 0.2$ کاهش یافته، بعد از آن افزایش و مجدداً اندکی کاهش می یابد. در اینجا، بر خلاف عدد رینولدز $Re = 87.5$ روش مکش جریان اثربخشی بیشتری نسبت به روش دمش جریان در کاهش نوسانات استوانه از خود به نمایش گذاشته است.



شکل ۱۱ تغییرات بیشینه دامنه جابه جایی استوانه مربعی بر حسب سرعت مکش و دمش برای $Re = 250$

در ادامه، به منظور مشاهده بهتر، نمودارهای پاسخ زمانی جابه جایی بی بعد شده استوانه مربعی در سرعت های مکش و

موجب کاهش نه چندان بزرگی در بیشینه دامنه جابه‌جایی استوانه مربعی شده‌است. در این‌جا نیز همانند قبل دیده می‌شود که روش مکش جریان، روش مؤثری حتی با تغییر طول شیارها برای کاهش نوسانات ناشی از جریان استوانه مربعی نمی‌باشد. در نقطه مقابل مشاهده می‌شود که روش دم‌ش جریان، توانسته‌است به مقدار قابل توجهی ارتعاشات استوانه را کاهش دهد. در این‌جا با افزایش طول شیار دم‌ش، بیشینه دامنه جابه‌جایی استوانه به شدت کاهش پیدا کرده‌است تا جایی که برای نسبت $d/D > 0.6$ درصد کاهش ارتعاشات نزدیک به ۱۰۰ درصد می‌شود.



شکل ۱۴ کانتورهای ورتیسیته برای تغییرات سرعت مکش در $Re = 250$

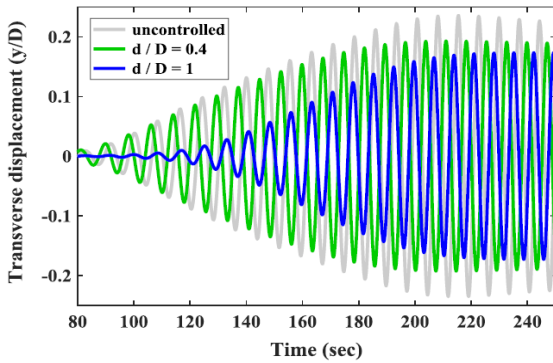
۹۷ درصد نسبت به حالت کنترل نشده کاهش دهد. هم‌چنین روش دم‌ش جریان برای سرعت‌های دم‌ش $u_b/u_\infty = 0.2$ و $u_s/u_\infty = 1$ موفق شده‌است، بیشینه دامنه جابه‌جایی استوانه را به ترتیب به مقدار ۴۱ و ۳۱ درصد کاهش دهد.

در ادامه، شکل‌های (۱۴ و ۱۵) تصاویر مربوط به ساختار گردابه‌ای تشکیل شده پشت استوانه مربعی برای $Re = 250$ و طول شیار $d/D = 0.5$ به‌ازای تغییرات سرعت به‌ترتیب در روش‌های مکش و دم‌ش جریان را نشان می‌دهند. در این‌جا مشاهده می‌شود که ساختار گردابه‌ای تشکیل شده پشت استوانه کنترل نشده، مرتبط با حالت گردابه‌ای $2P+2S$ می‌باشد که در آن دو گردابه از یک سطح و یک گردابه از سطح دیگر به‌طور متناوب طی یک دوره ارتعاشی کامل، ریخته می‌شوند. با توجه به شکل (۱۴) با افزایش قدرت مکش جریان همان‌طور که در شکل (۱۱) نیز دیده شد، دامنه گالوپینگ در محدوده $0.4 < u_s/u_\infty < 0.8$ به‌شدت کاهش پیدا می‌کند که این کاهش موجب تغییر ساختار گردابه‌ای تشکیل شده پشت استوانه از حالت گردابه‌ای $2P+2S$ به $2S$ می‌شود. هم‌چنین همان‌طور که در شکل (۱۵) مشاهده می‌شود، با افزایش سرعت دم‌ش، اگر چه طول لایه برشی افزایش پیدا کرده‌است ولی در نهایت این تغییر موفق به متوقف کردن ریزش گردابه‌ها به‌گونه‌ای که برای $Re = 87.5$ اتفاق افتاد، نشده‌است.

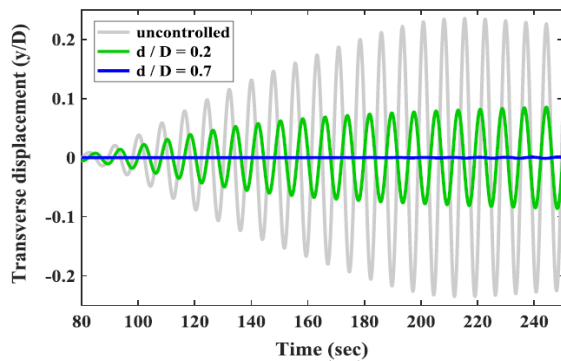
لازم به ذکر است برای عدد رینولدز $Re = 250$ واقع در ناحیه گالوپینگ، به‌منظور دستیابی به مصالحه مناسب بین درصد کاهش نوسانات ناشی از جریان استوانه و هم‌چنین مصرف انرژی، سرعت مکش برابر با 0.6 و دم‌ش بی‌بعدشده برابر با 0.2 به‌عنوان سرعت‌های منتخب، برای بررسی طول شیارها، انتخاب شده‌است.

در ادامه، اثر تغییرات شیارهای مکش و دم‌ش بر نوسانات ناشی از جریان استوانه مربعی و هم‌چنین ساختار گردابه‌ای مورد بررسی قرار می‌گیرد. برای این منظور سرعت مکش و دم‌ش ثابت نگاه‌داشته شده و تغییرات طول شیارها مورد ارزیابی قرار می‌گیرد. برای این منظور، شکل (۱۶) تغییرات بیشینه دامنه جابه‌جایی عرضی استوانه مربعی بر حسب تغییرات طول شیارهای مکش و دم‌ش برای $Re = 87.5$ و سرعت مکش و دم‌ش برابر با 0.2 را نشان می‌دهد. همان‌طور که در این شکل مشاهده می‌شود، در روش مکش جریان، افزایش طول شیار

در ادامه، شکل (۱۷) تاریخچه زمانی جابه‌جایی بی‌بعد شده استوانه مربعی در روش مکش جریان برای طول شیارهای $d/D = 0.4$ و $d/D = 1$ در عدد رینولدز $Re = 87.5$ و سرعت مکش برابر با 0.2 را نشان می‌دهد.

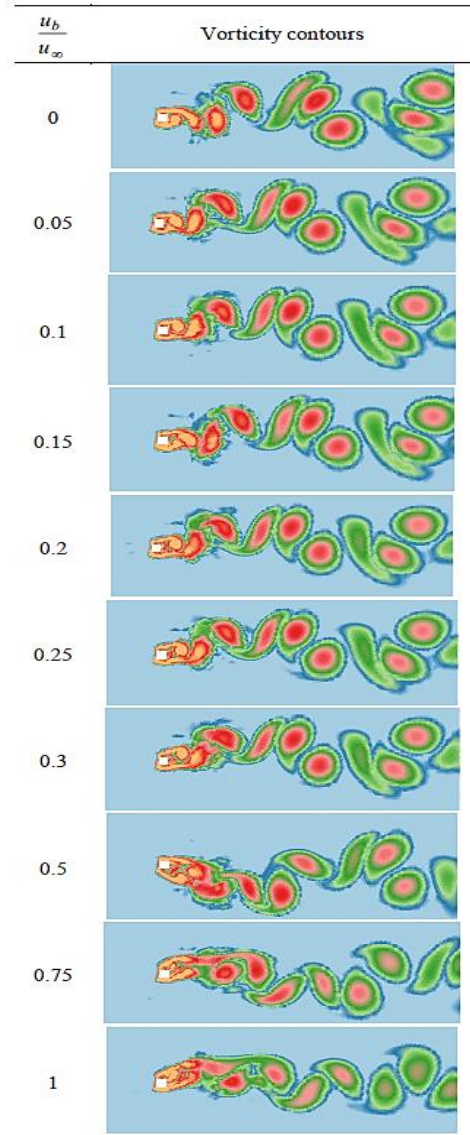


شکل ۱۷ پاسخ زمانی جابه‌جایی بی‌بعد شده استوانه مربعی در روش مکش جریان برای طول شیارهای $d/D = 0.4$ و $d/D = 1$ در $Re = 87.5$

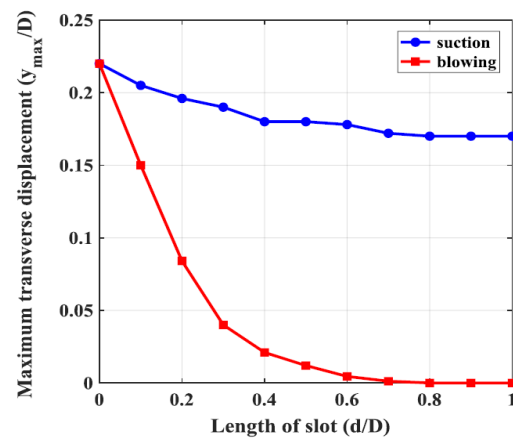


شکل ۱۸ پاسخ زمانی جابه‌جایی بی‌بعد شده استوانه مربعی در روش دمش جریان برای طول شیارهای $d/D = 0.2$ و $d/D = 0.7$ در $Re = 87.5$

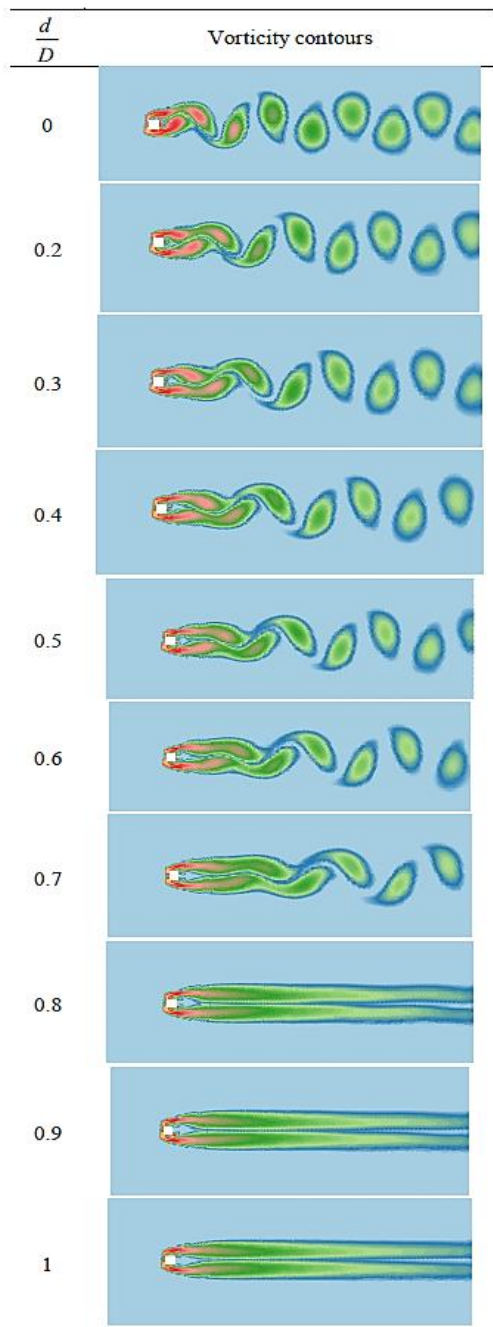
هم‌چنین شکل (۱۸) نمودار مشابه برای روش دمش جریان برای طول شیارهای $d/D = 0.2$ و $d/D = 0.7$ و سرعت دمش جریان برابر با 0.2 را ارائه می‌دهد. کاهش نه چندان زیاد دامنه ارتعاشات استوانه در روش مکش جریان و هم‌چنین موفقیت روش دمش جریان در این شکل‌ها به‌خوبی مشاهده می‌شود. در ادامه، شکل‌های (۱۹ و ۲۰) تصاویر مربوط به ساختار گردابه‌ای تشکیل شده پشت استوانه مربعی برای $Re = 87.5$ و سرعت مکش/دمش برابر با 0.2 به‌ازای تغییرات طول شیارها به‌ترتیب در روش‌های مکش و دمش جریان را نشان می‌دهند. با توجه به شکل (۱۹) دیده می‌شود که همانند مورد مشابه قبلی (شکل ۹) روش مکش جریان تغییری در



شکل ۱۵ کانورهای ورتیسیتی برای تغییرات سرعت دمش در $Re = 250$



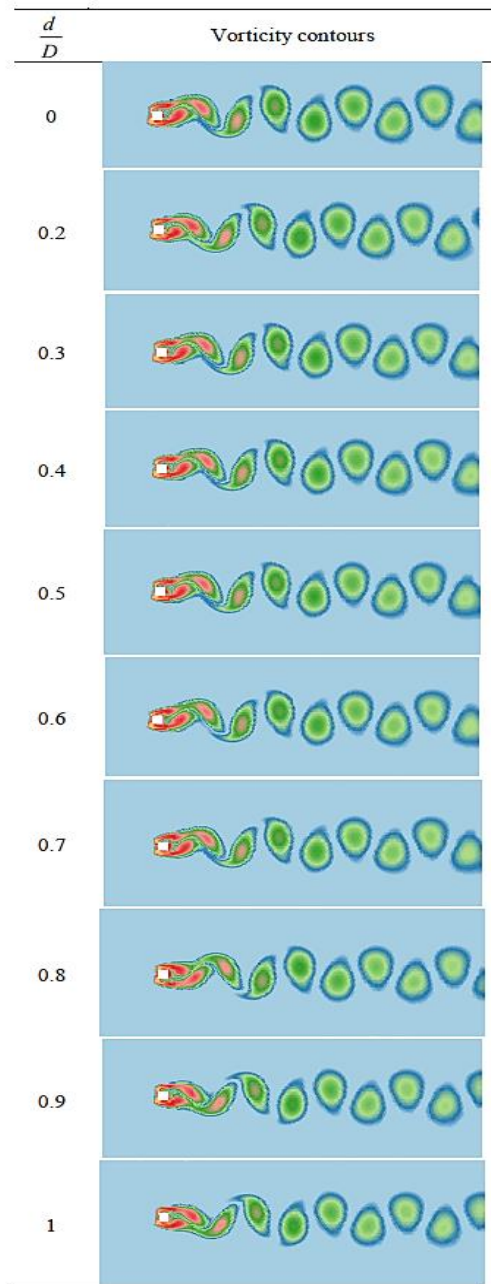
شکل ۱۶ تغییرات بیشینه دامنه جابه‌جایی استوانه مربعی بر حسب طول شیارهای دمش و مکش برای $Re = 87.5$



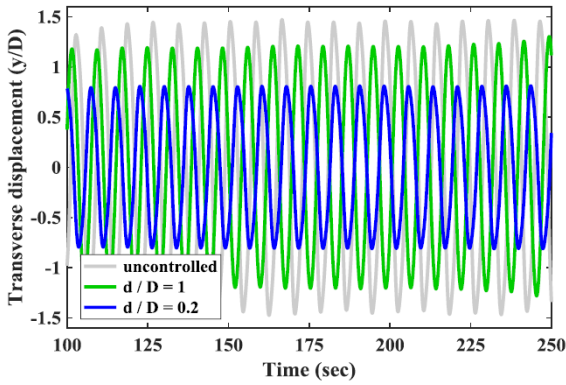
شکل ۲۰ کانتورهای ورتیسیتی برای تغییرات طول شیار برای روش دممش جریان در $Re = 87.5$

شکل (۲۱) تغییرات بیشینه دامنه جابه‌جایی عرضی استوانه مربعی بر حسب تغییرات طول شیارهای مکش و دممش برای $Re = 250$ و سرعت مکش و دممش برابر با 0.2 را نشان می‌دهد. همان‌طور که در این شکل مشاهده می‌شود، در روش مکش جریان، با افزایش طول شیار مکش، بیشینه جابه‌جایی استوانه کاهش پیدا کرده تا جایی که برای $d/D \geq 0.6$ به‌طور کلی دامنه

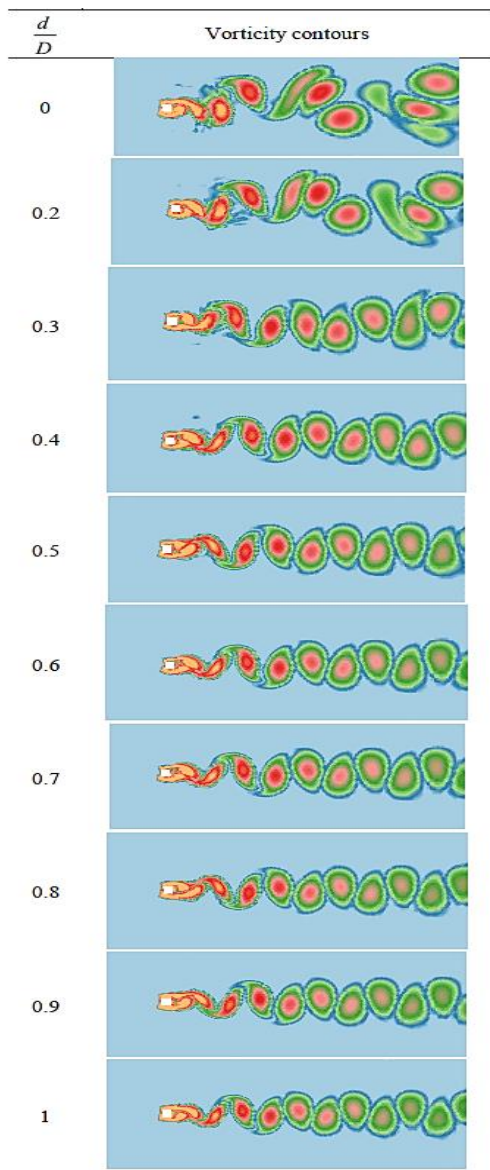
ساختار دنباله گردابه‌ها تشکیل شده پشت استوانه نکرده‌است و هم‌چنان حالت ریزش گردابه‌ها به صورت $2S$ می‌باشد. در نقطه مقابل در شکل (۲۰) مشاهده می‌شود که با بهره‌گیری از روش دممش جریان، با افزایش طول شیار دممش، لایه برشی تشکیل شده پشت استوانه کشیده شده و هم‌چنین گردابه‌ها از یکدیگر فاصله گرفته تا جایی که برای نسبت طولی $d/D \geq 0.8$ به‌طور کامل ریزش گردابه‌ها متوقف می‌شود.



شکل ۱۹ کانتورهای ورتیسیتی برای تغییرات طول شیار برای روش مکش جریان در $Re = 87.5$



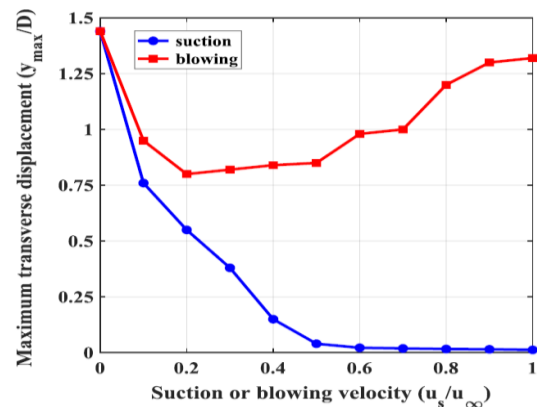
شکل ۲۳ پاسخ زمانی جابه‌جایی بی‌بعد شده استوانه مربعی در روش مکش جریان برای طول شیارهای $d/D = 0.2$ و $d/D = 1$ در $Re = 250$



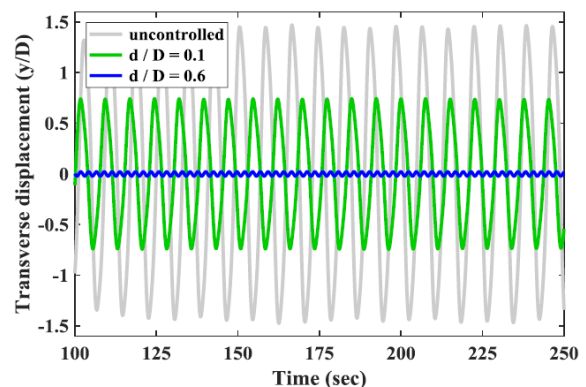
شکل ۲۴ کانترهای ورتیسیته برای تغییرات طول شیار برای روش مکش جریان در $Re = 250$

گالوپینگ کاهش پیدا می‌کند. در نقطه مقابل دیده می‌شود در روش دمش جریان، با افزایش طول شیار دمش ابتدا دامنه گالوپینگ کاهش و سپس افزایش می‌یابد. در اینجا نیز، به خوبی برتری روش مکش جریان نسبت به روش دمش برای کاهش گالوپینگ دیده می‌شود. در ادامه، شکل (۲۲) تاریخچه زمانی جابه‌جایی بی‌بعد شده استوانه مربعی در روش مکش جریان برای طول شیارهای منتخب $d/D = 0.1$ و $d/D = 0.6$ در عدد رینولدز $Re = 250$ و سرعت مکش برابر با 0.6 را نشان می‌دهد. هم‌چنین شکل (۲۳) نمودار مشابه برای روش دمش جریان برای طول شیارهای منتخب $d/D = 0.2$ و $d/D = 1$ و سرعت دمش جریان برابر با 0.2 را ارائه می‌دهد.

با توجه به شکل‌های (۲۲ و ۲۳) نیز به خوبی می‌توان اثربخشی بیشتر روش مکش جریان را در کاهش دامنه گالوپینگ استوانه مربعی مشاهده نمود.



شکل ۲۵ تغییرات بیشینه دامنه جابه‌جایی استوانه مربعی بر حسب طول شیارهای دمش و مکش برای $Re = 250$



شکل ۲۶ پاسخ زمانی جابه‌جایی بی‌بعد شده استوانه مربعی در روش مکش جریان برای طول شیارهای $d/D = 0.1$ و $d/D = 0.6$ در $Re = 250$

استوانه را از 2S+2P به حالت 2S تغییر دهد. هم‌چنین در روش دم‌ش جریان تغییری در ساختار گردابه‌ای تشکیل شده پشت استوانه مشاهده نمی‌شود.

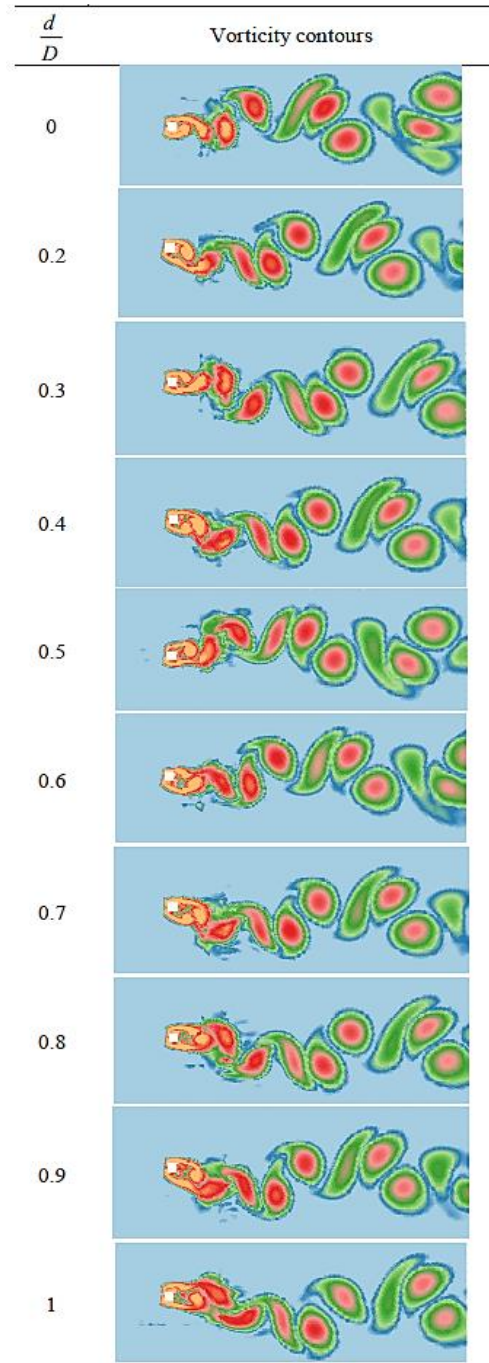
در پایان، خلاصه‌ای از حالت‌های مختلف از پارامترهای کنترلی که در شکل‌های (۷، ۸، ۱۲، ۱۳، ۱۷، ۱۸، ۲۲ و ۲۳) در جدول (۳) خلاصه شده‌است. لازم به ذکر است، درصد‌های کاهش ارتعاشات طبق رابطه $100 \times (y_{uncont} - y_{cont}) / y_{uncont}$ محاسبه می‌شود که در این رابطه y_{uncont} و y_{cont} به ترتیب حداکثر جابه‌جایی استوانه کنترل نشده و حداکثر جابه‌جایی استوانه کنترل شده می‌باشند.

جدول ۳ درصد کاهش ارتعاشات در هر یک از حالت‌های بررسی شده

درصد کاهش	$u_{s,b}/u_{\infty}$	d/D	عدد رینولدز	دم‌ش/مکش
۳۰٪	۰/۲	۰/۵	۸۷/۵	مکش
۷۰٪	۱			دم‌ش
۴۵٪	۰/۰۵			مکش
۹۵٪	۰/۲			دم‌ش
۷۱٪	۰/۲۵		۲۵۰	مکش
۹۷٪	۰/۵			دم‌ش
۴۱٪	۰/۲			مکش
۳۱٪	۱			دم‌ش
۱۸٪	۰/۲	۰/۴	۸۷/۵	مکش
۲۸٪		۱		دم‌ش
۶۵٪		۰/۲		مکش
۹۸٪		۰/۷		دم‌ش
۴۹٪		۰/۱	۲۵۰	مکش
۸۷٪		۰/۶		دم‌ش
۴۴٪		۰/۲		مکش
۱۷٪		۱		دم‌ش

نتیجه‌گیری

در این مطالعه از روش مکش و دم‌ش جریان برای کاهش نوسانات ناشی از جریان یک استوانه با مقطع مربعی که آزادانه در جهت عرضی نوسان می‌کند برای هر دو ناحیه قفل‌شدگی فرکانسی و گالوپینگ بهره گرفته شده‌است. با توجه به شبیه‌سازی‌های تعامل جریان-سازه‌ای مشاهده می‌شود که در کل



شکل ۲۵ کانتورهای ورتیسیته برای تغییرات طول شیار برای روش دم‌ش جریان در $Re = 250$

در انتها، شکل‌های (۲۴) و (۲۵)، تصاویر مربوط به ساختار گردابه‌ای تشکیل شده پشت استوانه مربعی برای $Re = 250$ به‌ازای تغییرات طول شیارها به ترتیب در روش‌های مکش و دم‌ش جریان را نشان می‌دهند. در این‌جا نیز مشاهده می‌شود که روش مکش جریان می‌تواند حالت ساختار گردابه‌ای تشکیل شده پشت

Fairing	فیرینگ	روش مذکور توانسته است در کاهش دامنه ارتعاشات ناشی از
Flutter	فلاتر	جدایش گردابه‌ها و گالوپینگ موفق عمل کند. برای عدد رینولدز
Galloping	گالوپینگ	واقع در ناحیه قفل‌شدگی فرکانسی ($Re = ۸۷.۵$) مشاهده
Helical strakes	نوارهای مارپیچ	می‌شود که دممش جریان با سرعت مکش $0.2 \geq u_b/u_\infty$ و طول
MDM (Moving/deforming mesh)	مش متحرک	شیار $d/D \geq 0.5$ می‌تواند به مقدار قابل توجهی دامنه ارتعاشات
Non-iterative time advancement	گذشت زمان غیر تکراری	استوانه را کاهش دهد. هم‌چنین دیده می‌شود تحت شرایط گفته
projection error	خطای تصویر	شده، ریزش گردابه‌های تشکیل شده پشت استوانه که در حالت
RMS (Root mean square)	جذر میانگین مربعات	کنترل نشده در ناحیه قفل‌شدگی فرکانسی به صورت $2S$ می‌باشد،
Splitter plate	صفحه‌های جداساز	به‌طور کامل متوقف می‌شود. هم‌چنین برای عدد رینولدز واقع در
Suction or blowing flow control methods	روش کنترل جریانی مکش یا دممش	ناحیه گالوپینگ ($Re = ۲۵۰$) دیده می‌شود که مکش جریان با
UDF (User defined function)	کد تابع کاربر	سرعت مکش $0.8 < u_s/u_\infty < 0.4$ و طول شیار $d/D \geq 0.4$
VIV (Vortex-induced Vibration)	ارتعاشات ناشی از جدایش گردابه	می‌تواند به مقدار قابل توجهی دامنه گالوپینگ را کاهش دهد.
Vortex shedding	ریزش گردابه‌ها	هم‌چنین مشاهده می‌شود که تحت شرایط ذکر شده، حالت ریزش

واژه نامه

CG Motion

حرکت مرکز گرانش

مراجع

- Hu, Q., and Ma, G., "Variable Structure Control and Active Vibration Suppression of Flexible Spacecraft During Attitude Maneuver", *Aerospace science and technology*, Vol. 9, Pp. 307-317, (2005).
- Yun, H., et al., "Investigation on Two-stage Vibration Suppression and Precision Pointing for Space Optical Payloads", *Aerospace Science and Technology*, Vol. 96, Pp. 105543, (2020).
- Voss, G., Schaefer, D., and Vidy, C., "Investigation on Flutter Stability of the DLR-F19/SACCON Configuration", *Aerospace Science and Technology*, Vol. 93, Pp. 105320, (2019).
- Joly, A., Etienne, S., and Pelletier, D., "Galloping of Square Cylinders in Cross-flow at Low Reynolds Numbers", *Journal of Fluids and Structures*, Vol. 28, Pp. 232-243, (2012).
- Blanchard, A., Bergman, L.A., and Vakakis, A.F., "Vortex-induced Vibration of a Linearly Sprung Cylinder with an Internal Rotational Nonlinear Energy Sink in Turbulent Flow", *Nonlinear Dynamics*, Vol. 99, Pp. 593-609, (2020).
- Rabiee, A.H., "Galloping and VIV cControl of Square-Section Cylinder Utilizing Direct Opposing Smart Control Force", *Journal of Theoretical and Applied Vibration and Acoustics*, Vol. 5, Pp. 69-84, (2019).
- Zhao, H., and Zhao, M., "Effect of Rounded cCorners on Flow-induced Vibration of a Square Cylinder at a Low Reynolds Number of 200", *Ocean Engineering*, Vol. 188, Pp. 106263, (2019).

8. Kumar, R. A., Sohn, C.-H., and Gowda, B.H., "Passive Control of Vortex-induced Vibrations: An Overview", *Recent Patents on Mechanical Engineering*, Vol. 1, Pp. 1-11, (2008).
9. Rabiee, A. H., and Esmaeili, M., "Simultaneous Vortex-and Wake-induced Vibration Suppression of Tandem-arranged Circular Cylinders Using Active Feedback Control System", *Journal of Sound and Vibration*, Pp. 115131, (2019).
10. Hasheminejad, S. M., Rabiee, A. H., and Bahrami, H., "Active Closed-loop Vortex-induced Vibration Control of an Elastically Mounted Circular Cylinder at Low Reynolds Number Using Feedback Rotary Oscillations", *Acta Mechanica*, Vol. 229, Pp. 231-250, (2018).
11. Fransson, J. H., Konieczny, P., and Alfredsson, P.H., "Flow around a Porous Cylinder Subject to Continuous Suction or Blowing", *Journal of Fluids and Structures*, Vol. 19, Pp. 1031-1048, (2004).
12. Sen, S., and Mittal, S., "Free Vibration of a Square Cylinder at Low Reynolds Numbers", *Journal of Fluids and Structures*, Vol. 27, Pp. 875-884, (2011).

